



## بررسی متغیرهای اصلی ریخته‌گری گریز از مرکز بر دیزاسختار و خواص مکانیکی کامپوزیت آلومنیم - برنج

مرتضی غلامی<sup>۱</sup>, مهدی دیواندری<sup>۲\*</sup>, محمدتقی صالحی<sup>۲</sup>

۱- کارشناس ارشد، مهندسی مواد- ریخته‌گری، دانشگاه علم و صنعت ایران، تهران

۲- دانشیار، مهندسی مواد، دانشگاه علم و صنعت ایران، تهران

\*- تهران، صندوق پستی 13114-16846

### چکیده

در این تحقیق از روش ریخته‌گری گریز از مرکز برای تولید کامپوزیت دوفلری آلومنیم- برنج استفاده شد. چهار دمای پیش‌گرم (۱۰۰، ۲۰۰، ۳۰۰ و ۴۰۰ درجه سانتی‌گراد)، سه سرعت دورانی متفاوت (۸۰۰، ۱۶۰۰ و ۲۰۰۰ دور بر دقیقه) و دو نسبت حجمی (۱.۵ و ۲.۵) به عنوان متغیرهای اصلی مورد استفاده قرار گرفت. میکروسکوپ نوری (OM)، میکروسکوپ الکترونی روشنی (SEM) مجهز به طیف‌سنجی پراش پرتو ایکس (EDS) و آنالیز پراش اشعه ایکس (XRD) برای مشاهده ریزاسختار و شناسایی فازها مورد استفاده قرار گرفت. آزمایشات مکانیکی، براساس الگوی چالمرز، و بررسی سطح شکست روی تعدادی از نمونه‌ها انجام شد. نتایج نشان داد، فصل مشترک حاصله دارای سه تابعی مجزا است. پفتریب از سمت برنج، منطقه‌ای اول لایه نفوذی ( $\text{Al}_3\text{Cu}_{2.5}\text{Zn}$ - $\text{Al}_3\text{Cu}_3\text{Zn}_4$ ) متنطبقی نوم رسوبات  $\text{Al}_3\text{Cu}$  توزیع شده در زمینه  $\text{Al}_{11}\text{Zn}$  و در نهایت منطقه‌ای سوم ساختار یوتکنیک غیرعادی ( $\alpha\text{-Al}/\text{Al}_3\text{Cu}$ ) شناسایی شد. نتایج آزمون فشار (تست چالمرز) نشان داد که با افزایش ضخامت فصل مشترک، شکنندگی آن افزایش یافته و تشکیل کمتری را تا گسیختگی تحمل کند. سطح شکست فصل مشترک حاوی هر دو نوع شکست ترد و نرم است. به نظر می‌رسد شکست ترد متعلق به رسوبات  $\text{Al}_3\text{Cu}$  و شکست نرم ناشی از ساختار یوتکنیک غیرعادی-  $\text{Al}/\text{Al}_3\text{Cu}$  است.

### اطلاعات مقاله

مقاله پژوهشی کامل
دربافت: ۱۹ فروردین ۱۳۹۵
پذیرش: ۰۲ خرداد ۱۳۹۵
ارائه در سایت: ۲۹ تیر ۱۳۹۵
کلید واژگان:
کامپوزیت دوفلری
آزمایش چالمرز
آلومینیم
برنج
سطح شکست

## Experimental Study of Effective Parameters on Production and Mechanical Properties of Al- Brass Bimetal Composite

Morteza Gholami, Mehdi Divandari\*, Mohammad-Taghi Salehi

School of Materials Engineering, Iran University of science and Technology, Tehran, Iran  
\*P.O.B. 13114-16846, Tehran, Iran, divandari@iust.ac.ir

### ARTICLE INFORMATION

Original Research Paper  
Received 07 April 2016  
Accepted 22 May 2016  
Available Online 20 July 2016

Keywords:  
Bimetal composite  
Chalmers Test  
Aluminum  
Brass  
Fracture surface

### ABSTRACT

In this study, aluminum- brass bimetal composite was produced by centrifugal casting process. Four preheat temperatures (100, 200, 300, and 400°C), three rotational speeds (800, 1600, and 2000 rotation-per-minute) and two volume ratios (1.5 and 2.5) were investigated. Optical microscopy (OM), scanning electron microscopy (SEM), energy dispersive X-ray spectroscopy (EDS), and X-ray diffraction analysis (XRD) were used for microstructure observations and phase characterization. Mechanical tests, based on Chalmers model, and fracture studies were performed on some specimens. According to the results, interface contains three discrete zones. Zone 1 includes diffusional layers ( $\text{Al}_3\text{Cu}_5\text{Zn}_4$ - $\text{Al}_3\text{Cu}_3\text{Zn}_4$ ), zone 2 contains  $\text{Al}_3\text{Cu}$  precipitates distributed in  $\text{Al}_{11}\text{Zn}$  matrix, and lastly zone 3 includes anomalous eutectic microstructure ( $\alpha\text{-Al}/\text{Al}_3\text{Cu}$ ). Pressure test results showed that brittleness is associated with interface thickening so that bond strength is weakened. Interface fracture surface contains two fracture modes, brittle and ductile. Brittle fracture seems to be related to  $\text{Al}_3\text{Cu}$  precipitates and ductile fractures to  $\alpha\text{-Al}/\text{Al}_3\text{Cu}$  anomalous eutectic microstructure.

### ۱- مقدمه

ریخته‌گری گریز از مرکز یکی از روش‌های ریخته‌گری است که ۱۵ درصد از تولیدات ریخته‌گری را شامل می‌شود [۲]. رینگ‌ها، سیلندرهای توخالی، نیوب‌ها، لوله‌ها، و پوسته‌های بزرگ موتور به دلایل متعددی اغلب با استفاده از فرآیند ریخته‌گری گریز از مرکز تولید می‌شوند. هیچ‌گونه ماهیچه‌ی مرکزی متالورژیکی است به طوری که مذاب ریخته‌گری شده با حل کردن سطح بوش جامد، شرایط را برای تشکیل لایه‌ی کامپوزیتی در فصل مشترک فراهم می‌آورد.

Please cite this article using:

M. Gholami, M. Divandari, M. T. Salehi, Experimental Study of Effective Parameters on Production and Mechanical Properties of Al- Brass Bimetal Composite, *Modares Mechanical Engineering*, Vol. 16, No. 7, pp. 170-178, 2016 (in Persian)

برای ارجاع به این مقاله از عبارت ذیل استفاده نمایید:

$$F_{ce} = \frac{mv^2}{r} \quad (2)$$

نیروی ثقل نیز معادل است با:

$$F_G = mg \quad (3)$$

به طوری که ۸ بیانگر شتاب گرانشی (متر بر مجدوثر ثانیه) است. دیگر نیروی تاثیرگذار در این فرآیند، نیروی کوربولیس است که به صورت رابطه (۴) روی مذاب تاثیر می‌گذارد:

$$F_{co} = -2\omega V_r \quad (4)$$

به گونه‌ای که  $\omega$  سرعت زاویه‌ای (رادیان بر ثانیه) و  $V_r$  سرعت شعاعی ذره (میلی‌متر بر ثانیه) را نشان می‌دهد. "شکل ۱" طرحواره‌ی نیروهای موجود را نشان می‌دهد.

حوزه‌ی گریز از مرکز با تغییر انتقال حرارت در سیستم موجب مرجح شدن بیشتر فصل مشترک می‌شود به گونه‌ای که از تعقر آن کم شده و منجر به انجامد فوق العاده سریعی در این ناحیه می‌شود [۷]. با در نظر گرفتن یک حجم کنترلی درون سیالی که دارای مولفه‌های سرعت  $v_x$ ,  $v_y$  و  $v_z$  است و نیز با ثابت فرض کردن چگالی، معادله‌ی پیوستگی و ناویر - استوکس به ترتیب برابر خواهد بود با [۸]:

$$\frac{\partial v_x}{\partial x} + \frac{\partial v_y}{\partial y} + \frac{\partial v_z}{\partial z} = \nabla v = 0 \quad (5)$$

$$\rho \frac{dv}{dt} = -\nabla p + \eta \nabla^2 v + \rho g \quad (6)$$

که به ازای مختصات استوانه‌ای می‌توان نوشت:

$$\begin{aligned} \rho \left( \frac{\partial v_x}{\partial t} + v_x \frac{\partial v_x}{\partial x} + v_y \frac{\partial v_y}{\partial y} + v_z \frac{\partial v_z}{\partial z} \right) \\ = -\frac{\partial p}{\partial x} + \eta \nabla^2 v + \rho g_x \\ \rho \left( \frac{\partial v_y}{\partial t} + v_x \frac{\partial v_x}{\partial x} + v_y \frac{\partial v_y}{\partial y} + v_z \frac{\partial v_z}{\partial z} \right) \\ = -\frac{\partial p}{\partial y} + \eta \nabla^2 v + \rho g_y \\ \rho \left( \frac{\partial v_z}{\partial t} + v_x \frac{\partial v_x}{\partial x} + v_y \frac{\partial v_y}{\partial y} + v_z \frac{\partial v_z}{\partial z} \right) \\ = -\frac{\partial p}{\partial z} + \eta \nabla^2 v + \rho g_z \end{aligned} \quad (7)$$

به طوری که  $\rho$  جرم،  $p$  نیروی فشاری،  $\eta$  نیروی ویسکوز و  $\rho g$  نیروی گرانش است.

### 3- روش پژوهش 1-3- مواد اولیه

ترکیب شیمیایی شمش آلومینیم مورد استفاده در این تحقیق شامل ۰.۰۸% Si, ۰.۰۶۴% Al, ۰.۰۲۷% Mn, ۰.۰۰۶% Ni, ۳۵% CuZn35 با ترکیب شیمیایی آهن ۰.۱% Sn, ۰.۰۵% Fe, ۰.۰۲% Cr, ۰.۰۰۵% Ti و ۰.۰۰۶% Mg است. برای تولید بوش برنجی نیز از ورق CuZn35 به صورت ریخته‌گری در قالب با ابعاد ۲۶۵×۴۰×۳ میلی‌متر بهصورت استوانه‌ی توخالی با قطر خارجی ۸۴ و قطر داخلی ۷۸ میلی‌متر درآورده شد.

به منظور تولید بوش برنجی به طوری که در "شکل ۲" به تصویر کشیده شده است، ورق برنجی برشزده شده با ابعاد ۲۶۵×۴۰×۳ میلی‌متر بهصورت استوانه‌ی توخالی با قطر خارجی ۸۴ و قطر داخلی ۷۸ میلی‌متر درآورده شد و

حدود ۱۰۰ درصد برسد. غلطک‌های دوفلزی اغلب با استفاده از دو بار ریخته- گری تهیه می‌شوند به طوری که سطح خارجی غلطک متشکل از آلیاز مقاوم به سایش یا مقاوم به خوردگی (در اینجا برنج) بوده و آلیاز داخلی از فلزات ارزان‌تر نظیر چدن یا فولاد (در اینجا آلومینیم) است [۳].

طبق گزارش البانو و همکاران [۴]، تولید کامپوزیت فولاد- بایت به روش گریز از مرکز در شرایط دمای پیش‌گرم (سطح داخلی بوش فولادی) ۵۰۰-۵۲۰ درجه‌ی سانتی‌گراد و سرعت خطی ۳-۲ متر بر ثانیه (۴۵۵-۶۸۲ دور بر دقیقه) امکان‌پذیر است به‌طوری که لایه‌ی بایتی به ضخامت ۰.۵-۰.۷ میلی‌متر روی فولاد تشکیل می‌شود. بنابر گزارش آن‌ها، حضور ترکیبات پوتکتیکی در فصل مشترک موجب افزایش استحکام پیوند بین دو فلز می- شود. در تحقیق دیگری، واتانبه و همکاران [۵] با استفاده از آلومینیم مایع و نیکل جامد، لوله‌ی آلومینیا نیکل- فولاد را به روش ریخته‌گری گریز از مرکز تولید کردند. آن‌ها در این روش پودر نیکل را روی لوله‌ی فولادی گردان تعبیه کرده و مذاب آلومینیم را درون لوله ریخته‌گری کردند. افزایش نیروی گریز از مرکز، دمای باربریزی آلومینیم و دمای پیش‌گرم نیکل و فولاد، شرایط واکنش‌پذیری بین نیکل و آلومینیم را به طور قابل ملاحظه‌ای تسهیل می- کند. همچنین قادریت اولیه‌ی نیکل و آلومینیم نقش مهمی را در کنترل ریزاساختار لایه‌ی کامپوزیتی ایفا کردند. مطابق گزارش آن‌ها، گرمای تولیدی توسط واکنش، سطح داخلی لوله‌ی فولادی را ذوب کرده و لایه‌ی کامپوزیت و فولاد را پیوند داده است.

متغیرهای متعددی ممکن است روی استحکام پیوند در ریخته‌گری گریز از مرکز تاثیرگذار باشد. برخی متغیرهای قابل کنترل را می‌توان شامل سرعت گردش زیرلایه‌ی جامد، سرعت سرد شدن پس از ریختن، دمای مذاب در زمان سیکل سرد شدن، دمای بوش جامد قبل از ریختن، دمای مذاب در زمان ریختن، روش آماده‌سازی سطح جامد و نیز روش پوشش دهی (حمام ترکیبی، دما، زمان ترشوندگی و ...). دسته‌بندی کرد. دیوف و جونز [۶] تاثیر سه متغیر ریخته‌گری گریز از مرکز شامل سرعت گردش، آهنگ باربریزی، آهنگ سه‌بعدی را روی استحکام پیوند به دست آمده از لایه نشانی آلیاژ بایت به روی چدن و به روش گریز از مرکز را مورد ارزیابی قرار دادند. مطابق گزارش آن‌ها سرعت سرد شدن تاثیر قابل ملاحظه‌ای نسبت به سرعت گردش و آهنگ باربریزی، روی استحکام پیوند دارد به‌طوری که به ازای آهنگ تبرید سریع‌تر، انجامد فوراً پس از باربریزی شروع شده و از جدایش فازهای مختلف جلوگیری به عمل می‌آید؛ این در حالی است که در آهنگ‌های تبرید آهسته، انجامد پس از جدایش فارهای مختلف اتفاق می‌افتد.

### 2- معادلات حاکم بر جریان مذاب در گریز از مرکز

در ریخته‌گری گریز از مرکز عمودی برخلاف حالت افقی، نیروی منتجه روی مایع ثابت است. در حالت افقی لغزش قابل ملاحظه‌ای بین فلز و قالب رخ می‌دهد به طوری که فلز توانایی چرخش با سرعت قالب را ندارد اما در حالت عمودی، به محض ورود مذاب به قالب، مذاب با سرعت قالب همسان می‌شود [۲]. متوسط شتاب تولیدی به‌واسطه چرخش قالب را می‌توان با استفاده از رابطه (۱) محاسبه کرد:

$$G = 5.59 \times 10^{-4} N^2 D \quad (1)$$

به ترتیب  $G$ ,  $D$  و  $N$  نشان‌دهنده‌ی شتاب شعاعی گریز از مرکز، قطر میانگین قطعه ریختگی (متر) و سرعت چرخش قالب (دور بر دقیقه) هستند. نیروی گریز از مرکز اعمالی بر جسم چرخان برابر است با:

### 3-2-2- آزمون فشار (نمونه چالمرز<sup>۱</sup>)

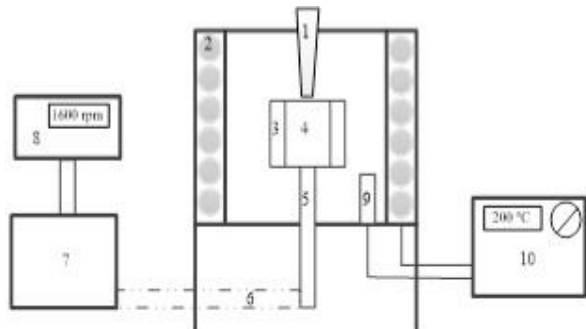
دستگاه آزمون فشار شنک تریل<sup>۲</sup> ساخت کشور آلمان برای بررسی استحکام فصل مشترک مورد استفاده قرار گرفت. با توجه به استاندارد اینو 4386-2 [9] استحکام پیوندی بین آلمینیم و برنج را می‌توان به روش چالمرز تعیین کرد.

ابعاد نمونه ای استاندارد در "شکل 4" نشان داده است.

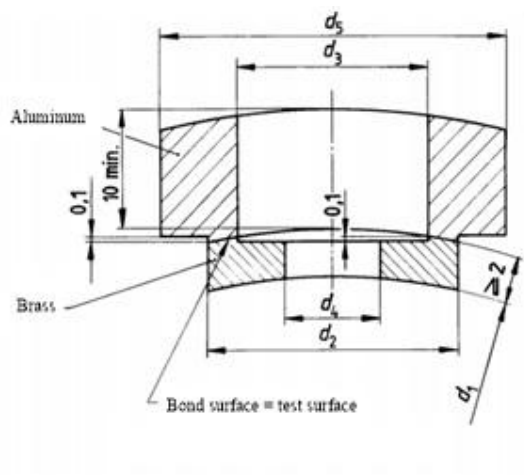
استحکام باند  $R_{Ch}$  معادل خارج قسمت نیروی حداکثر  $F_{max}$  برحسب نیوتون بر سطح باند  $A$  برحسب میلی‌متر مربع است.

$$R_{Ch} = \frac{F_{max}}{A} \quad (8)$$

در حقیقت، نحوه انجام آزمون (شکل 5) به گونه‌ای است که سنبه‌ی اعمال فشار روی بخش برنجی قرار گرفته و شکست از بخش برنجی انجام می‌شود.

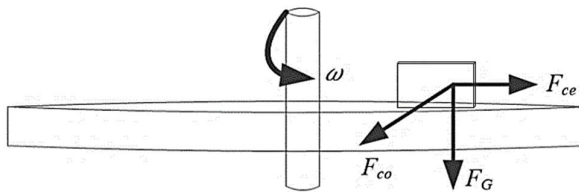


**شکل 3** شماتیک دستگاه ریخته‌گری گریز از مرکز عمودی؛ ۱- راهگاه باربریز ۲- شماتیک دستگاه ریخته‌گری گریز از مرکز عمودی؛ ۳- برش برنجی ۴- محفظه‌ی قالب ۵- شفت ۶- تسمه‌ی انتقال نیرو ۷- الکتروموتور ۸- اینورتور (دستگاه تنظیم سرعت چرخش) ۹- دماسنگ متصل به ژنراتور سیستم گرمایشی ۱۰- ژنراتور گرمایشی و کنترل کننده دما



**شکل 4** نمونه ای استاندارد آزمون چالمرز [9]

شکل 4 نمونه ای استاندارد آزمون چالمرز [9]



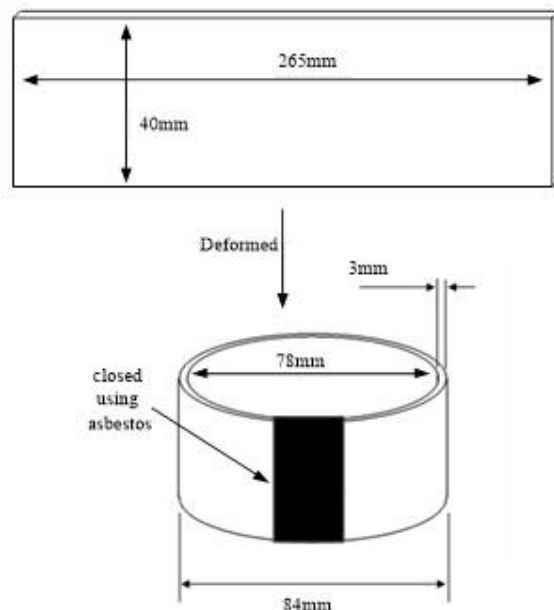
**شکل 1** طرح‌واره‌ی نشان‌دهنده‌ی نیروهای دخیل در حوزه‌ی گریز از مرکز

دو سر ورق نیز با استفاده از پنبه نسوز و مفتول فولادی بر هم منطبق گردید. گفتنی است که بوش‌های تهیه شده پس از آماده‌سازی تحت عملیات سنباده-زنی قرار گرفته و سطوح آن‌ها تا کاغذ سنباده‌ی شماره ۰۰۰۰ پوساب‌زنی شد؛ همچنین از مایع استن به منظور چربی‌زدایی سطوح استفاده شد.

### 3-2- تجهیزات مورد استفاده

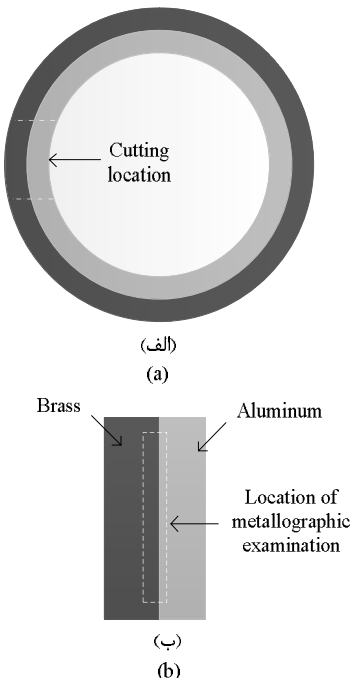
#### 3-1-2- ریخته‌گری نمونه‌ها

به‌منظور تهیی مذاب از کوره‌ی المانی 60 لیتری ساخت شرکت آذرکوره استفاده شد. شارژ آلمینیم با استفاده از ترازوی دیجیتال وزن شده و درون بوته‌ی گرافیتی شماره ۶ قرار داده شد. بوته درون کوره جای‌گذاری شده و پس از بستن درب کوره، دمای کوره روی 700 درجه‌ی سانتی‌گراد تنظیم گردید. پس از آماده شدن مذاب، دمای آن با استفاده از یک ترموموکوبیل تماسی مورد سنجش قرار گرفته و در صورت رسیدن به دمای باربری (700 درجه‌ی سانتی‌گراد)، عملیات باربریزی درون بوش برنجی تعییه شده در دستگاه ریخته‌گری گریز از مرکز عمودی انجام می‌گرفت. طرح‌واره‌ی از جمله دستگاه ریخته‌گری گریز از مرکز از "شکل 3" نشان داده شده است.



**شکل 2** مراحل آماده‌سازی بوش‌های برنجی؛ ورق برنجی برش‌زده شده به ابعاد 265x40x3 میلی‌متر با استفاده از پنبه‌نسوز و مفتول فولادی به هم منطبق شده است.

<sup>1</sup> chalmers  
<sup>2</sup> Schenck Trebel



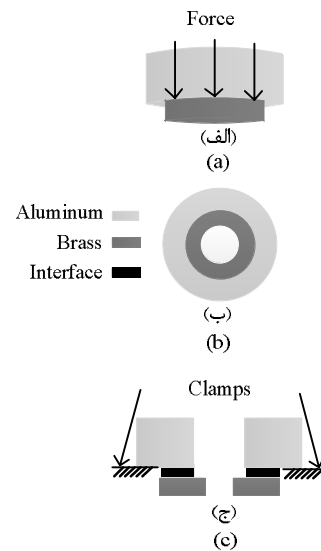
**Fig. 6** Cutting process of the cast samples, (a) cross section cutting, (b) cut to smaller dimension for metallographic observations  
شکل 6 مراحل برش نمونه‌های ریخته‌گری شده برای بررسی متالوگرافی؛ (الف) برش مقطع عرضی، (ب) برش به ابعاد کوچکتر جهت مشاهدات ریزساختاری

نفوذ حالت جامد در انتهای فرآیند انجماد تامین می‌شود. مشخصات نمونه‌های ریخته‌گری شده در جدول 1 آمده است.

جدول 1 مشخصات نمونه‌های ریخته‌گری شده با دمای باریزی 700 درجه‌ی سانتی‌گراد

**Table 1** Cast samples at 700°C pouring temperature

		نسبت حجمی (درجه‌ی سانتی‌گراد)	سرعت دوران (دور بر دقیقه)	شماره نمونه
100	1.5	800	1	
		1600	2	
		2000	3	
	2.5	800	4	
		1600	5	
		2000	6	
200	1.5	800	7	
		1600	8	
		2000	9	
	2.5	800	10	
		1600	11	
		2000	12	
300	1.5	800	13	
		1600	14	
		2000	15	
	2.5	800	16	
		1600	17	
		2000	18	
400	1.5	800	19	
		1600	20	
		2000	21	
	2.5	800	22	
		1600	23	
		2000	24	



**Fig. 5** Schematic of the samples were prepared for Chalmers test; (a) general scheme and direction of applied force, (b) top view, (c) cross-section view

شکل 5 طرحواره‌ی نمونه‌های تهیه شده جهت آزمون چالمرز؛ (الف) شمای کلی و جهت اعمال نیرو، (ب) نمای بالا و (ج) برش مقطع عرضی

### 3-2-3- ریزساختار و فازشناسی

به منظور مطالعه‌ی ریزساختار فصل مشترک، کامپوزیت‌های دو فلزی آلومینیم- برنج تولیدی، با استفاده از اره دستی برش زده شده (شکل 6) و سطح مقطع آن‌ها پس از سنباده‌زنی توسط کاغذهای کاربید سیلیسیم پوسابزندی شده و در انتهای با استفاده از محلول آلومینیم 0.3 میکرومتری تحت پولیش نهایی قرار گرفت. محلول حکاکی حاوی 0.5 میلی‌لیتر اسید فلورئیک<sup>1</sup> در 100 میلی‌لیتر آب مقطر برای رنگی کردن ریزساختار فصل مشترک استفاده شد؛ به این منظور، سطوح نمونه‌ها به مدت 20 ثانیه درون محلول یاد شده حکاکی شد. ریزساختار فصل مشترک با استفاده از میکروسکوپ نوری مدل میج تکنو<sup>2</sup> ساخت ژاپن و میکروسکوپ الکترونی روبشی مدل وگا تسکان<sup>3</sup> ساخت چکسواکی مجهز به دتکتور طیف‌سنجی پراش پرتو ایکس (ای‌دی‌اس)<sup>4</sup> مورد بررسی قرار گرفت. دستگاه ایکس آر دی<sup>5</sup> مدل جی دی ایکس 8030<sup>6</sup> ساخت شرکت جیول<sup>7</sup> و نیز دتکتور ای‌دی-اس (EDS) متصل به میکروسکوپ الکترونی روبشی، برای مشخص کردن فازهای تشکیل شده در لایه‌های مختلف فصل مشترک مورد استفاده قرار گرفت.

### 4- نتایج و بحث

#### 4-1- تشریح آلیاژسازی و انجماد در فصل مشترک

فرآیند پر شدن بوش و انجماد در حوزه‌ی گریز از مرکز عمودی به گونه‌ای است که حین فرآیند پر شدن، ذرات منتمایل به حرکت در جهت محور چرخش هستند. پیوند متالورژیکی شکل گرفته در این تحقیق، احتمالاً ناشی از شرایط اتحالی ویژه‌ای است که به واسطه‌ی نیروهای مکانیکی دخیل و نیز

<sup>1</sup> HF

<sup>2</sup> MEIJI Techno

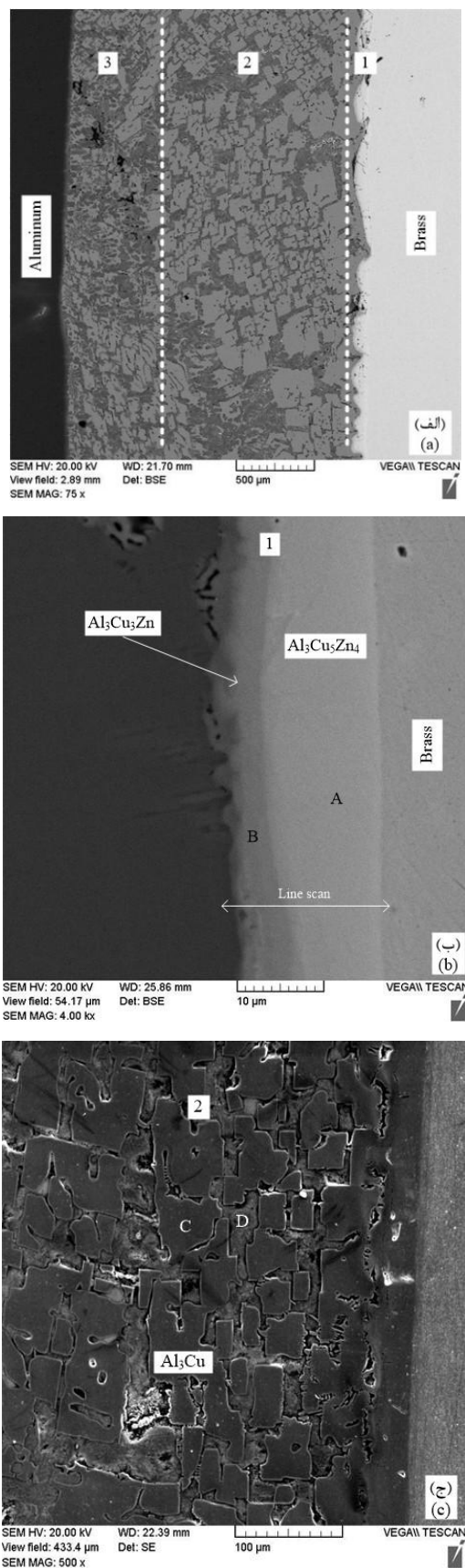
<sup>3</sup> VEGA II XMU Tescan

<sup>4</sup> EDS

<sup>5</sup> XRD

<sup>6</sup> JDX-8030

<sup>7</sup> JEOL



میزان انحلال سطح برنج در نمونه‌ها متفاوت بود. مطابق اندازه‌گیری‌های انجام گرفته با نرم‌افزار ایمیچ جی [10]، افزایش محتوای حرارتی موجب انحلال هر چه بیش‌تر برنج در مذاب آلمینیم شده است (شکل 7). در این حالت، مذاب برخلاف نیروی گرانش حرکت می‌کند. با ورود مذاب آلمینیم به درون بوش، انحلال سطحی آغاز شده و محلولی با نقطه‌ی ذوب پایین شکل می‌گیرد. به علت محتوای حرارتی بالای مذاب در مراحل اولیه، اولین نواحی لمس شده توسط مذاب، مکان‌های مرجم تشکیل پیوند متالورژیکی است. علت این پدیده (تشکیل پیوند) به گسیختگی فیلم اکسیدی سطحی و ایجاد سطح جدید نسبت داده شده است [11]. نتایج نشان داد نمونه‌های تولید شده در دماهای پیش‌گرم پایین و نیز سرعت‌های چرخش بالا دارای فصل مشترک نازک‌تری نسبت به دیگر نمونه‌ها است.

مطابق اندازه‌گیری‌ها، محدوده‌ی فصل مشترک در دماهای پیش‌گرم 100، 200، 300 و 400 درجه‌ی سانتی‌گراد به ترتیب معادل 0.489-0.78، 1.48-0.84، 2.21-1.13 و 3.11 است. می‌توان دید که بازکردن فصل مشترک متعلق به نمونه‌ی 3 (دور 2000) با 0.489 میلی‌متر بوده و ضخیم‌ترین فصل مشترک با 3.11 (دور 800) میلی‌متر متعلق به نمونه‌ی 22 است.

طبق گزارش ژینگ و همکاران [12]، افزایش محتوای حرارتی با تسهیل فعالیت عنصر، شرایط را برای عرضه ترشدن فصل مشترک فراهم می‌کند. از دیگر سو، افزایش سرعت چرخش با افزایش آهنگ سردکنندگی، با فعالیت عناصر مقابله کرده و زمان کافی جهت نفوذ عنصر را در اختیار نمی‌گذارد [13].

به طوری که در "شکل 8- الف" نشان داده شده است، فصل مشترک شامل سه لایه‌ی مجزا است. بزرگنمایی بالاتر منطقه‌ی 1 (شکل 8- ب) گویای آن است که این ناحیه به نوبه‌ی خود متتشکل از دو لایه‌ی قابل تفکیک است. تحلیل نقطه‌ای (جدول 2) نشان داد که ترکیب استوکیومتری این لایه‌است. تحلیل نقطه‌ای (جدول 2) نشان داد که ترکیب استوکیومتری  $\text{Al}_{34}\text{Cu}_{40}\text{Zn}_{20}$  است [14]. بنابراین نفوذ رو به بالای عنصر روی است. از آن جایی که تنها فاز سه‌تایی این سیستم ترکیبی با نسبت استوکیومتری  $\text{Zn}_{15-17}/\text{Al}_{25-27}$  انجام گرفته است. گفتندی است که نقطه‌ی ذوب پایین عنصر روی نسبت به آلمینیم و مس نیز می‌تواند این پدیده را تسهیل کند (اثر کرکندال).

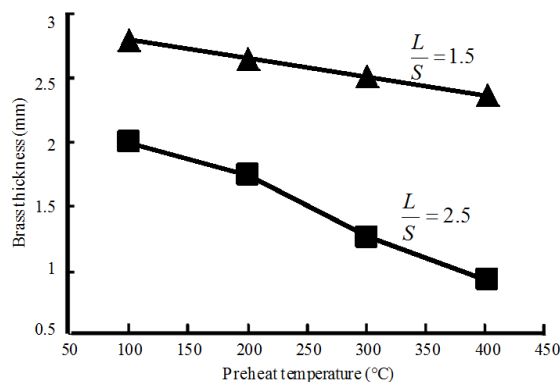


Fig. 7 Variation of dissolution of the bush surface versus increasing the preheat temperature at 1.5 and 2.5 volume ratio and constant rotational speed of 1600 rpm

شکل 7 تغییرات میزان انحلال سطح برنج به ازای افزایش دمای پیش‌گرم بوس برجی در دو نسبت حجمی 1.5 و 2.5 و سرعت چرخش ثابت 1600 دور بر دقیقه

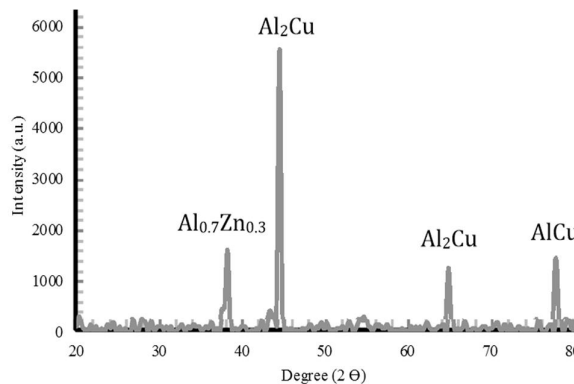


Fig. 10 X-ray diffraction analysis (XRD) of the interface of Aluminum-Brass bimetal composite

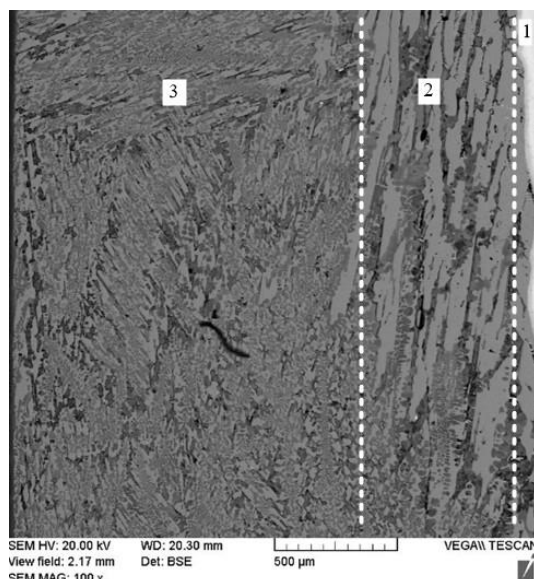
شکل 10 تحلیل پراش پرتو ایکس از فصل مشترک کامپوزیت آلومینیم- برنج

**4-2- تأثیر حوزه‌ی گریز از مرکز روی ریزساختار فصل مشترک**  
تصویر "شکل 11" نشان‌دهنده‌ی فصل مشترک شکل گرفته در نمونه‌ی 18 است. با مقایسه‌ی این تصویر با "شکل 8-الف" می‌توان دید که منطقه‌ی 3 (ناحیه‌ی یوتکتیک) در نمونه‌ی 18 (تولید شده با دور 2000) به‌طور قابل ملاحظه‌ای وسیع‌تر از نمونه‌ی 10 (تولید شده با دور 800) است. در حقیقت، ارتعاش مکانیکی قالب حین انجامد، موجب افزایش میزان ترکیب یوتکتیکی می‌شود. از دیگر سو، تلاطم با توزیع یکنواخت‌تر هسته‌های انجامدی، الگوی انجامدی متفاوتی ایجاد کرده و نرخ انجامد ریختگی را سرعت بخشیده است. نرخ انجامد سریع‌تر نیز شرایط را برای تولید کسر حجمی بالاتری از ساختار یوتکتیکی تسهیل می‌کند [22].

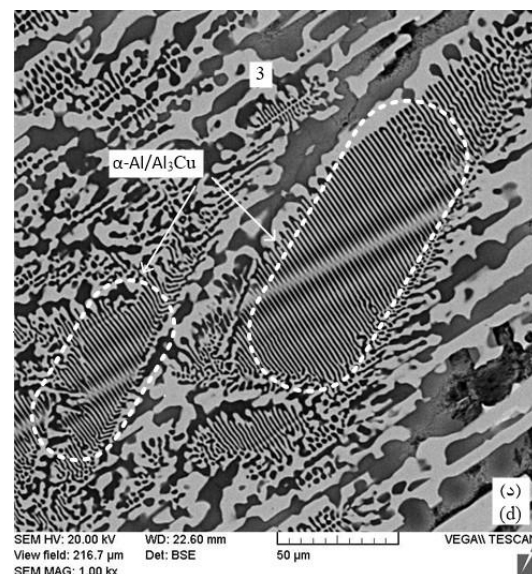
بنابر تئوری جوانه‌زنی ارائه شده توسط فلمینگ [23]، شعاع جوانه‌ی پایدار تقریباً  $r^*$  تحت مادون انجامد  $\Delta T$  معادل است با:

$$r^* = \frac{2\sigma T_M V_s}{\Delta H \Delta T} \quad (9)$$

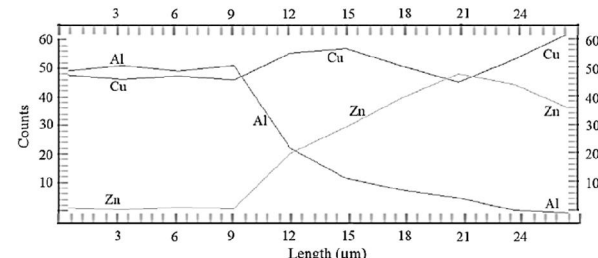
به طوری که  $T_M$  نقطه ذوب تعادلی،  $V_s$  حجم مولی،  $\sigma$  انرژی سطحی و  $\Delta H$  گرمای نهان انجامد است.



شکل 11 فصل مشترک نمونه‌ی 18 ثبت شده با میکروسکوپ الکترونی روشی



شکل 8 تصاویر ثبت شده با میکروسکوپ الکترونی روشی؛ (الف) فصل مشترک (نمونه 10) شامل سه ناحیه‌ی مجزا، (ب)-(د) بزرگنمایی بالاتر نواحی مشخص شده در تصویر (الف)



شکل 9 اسکن خطی از ناحیه‌ی مشخص شده در شکل 8- ب نشان‌دهنده‌ی نفوذ رو به بالای عنصر رو

منطقه‌ی 2 فصل مشترک (شکل 8-ج) متشکل از رسوبات صفحه‌ای شکل  $\alpha\text{-Al}(\text{Al}_2\text{Zn})$  توزیع شده در زمینه‌ی  $\alpha\text{-Al}$  (Al<sub>2</sub>Cu) است. تحلیل XRD فصل مشترک (شکل 10) برخلاف تحلیل نقطه‌ای نشان داد که فاز غالب فصل مشترک است. شویلوک و همکاران [18] نشان دادند که این دو فاز درواقع یکی بوده و فاز Al<sub>2</sub>Cu در حقیقت حالت غیرتعادلی فاز  $\Theta$  ( $\text{Al}_2\text{Cu}$ ) است که آن را  $\Theta'$  نام‌گذاری کردند. بیسواس و همکاران [19] نیز طی گزارشی در سال 2011، ضمن تایید نظریه‌ی گروه تحقیقاتی شویلوک، حضور فاز Al<sub>2</sub>Cu در شرایط غیرتعادلی را گزارش کردند.

ناحیه‌ی 3 (شکل 8-د) که در مجاورت آلومینیم واقع شده شامل ساختاری تحت عنوان یوتکتیک غیرعادی  $\alpha\text{-Al}/\text{Al}_2\text{Cu}$  است. لیو و همکاران [20] گزارش کردند که چنین ساختاری در شرایط غیرتعادلی و در نتیجه‌ی جوانه‌زایی و رشد مستقل دو فاز یوتکتیکی تشکیل می‌شود. وی و هرلاج [21] نیز با بیان این موضوع که ساختار یوتکتیک غیرعادی محصول انجامد سریع است، حضور این ساختار را تایید کرده‌اند.

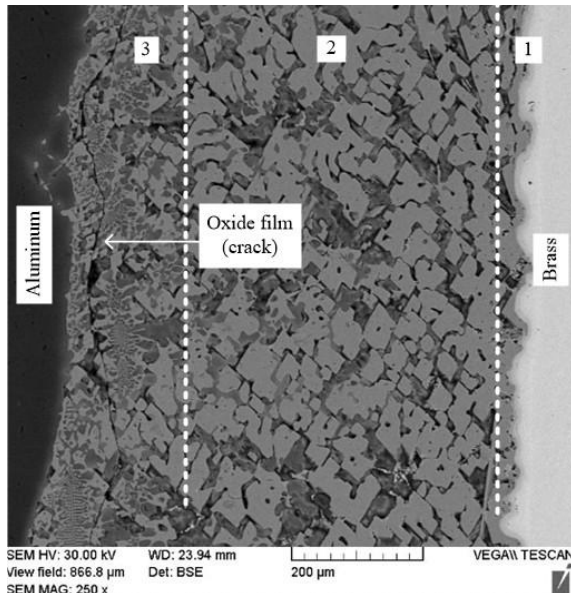


Fig. 13 SEM image of the interface of sample 5 showing the crack at the interface

شکل 13 فصل مشترک نمونه 5 ثبت شده با میکروسکوپ الکترونی رویش نشان‌دهنده حضور ترک در فصل مشترک

آزمون، حلقه‌ای به مساحت 113 میلی‌متر مربع اندازه‌گیری شد. طبق گزارش عباسی و همکاران [29] ضخامت ترکیبات بین‌فلزی موجود در فصل مشترک دارای اندازه‌ی بحرانی هستند که تجاوز از آن مقدار موجب کاهش قابل توجه استحکام پیوند می‌شود. بدیهی است که با افزایش ضخامت فصل مشترک، شکنندگی آن افزایش یافته و تنش کمتری را تا گسیختگی تحمل کند (شکل 14).

با مشاهده سطح شکست (شکل 15-الف) می‌توان دید هر دو نوع شکست ترد و نرم در فصل مشترک اتفاق افتاده است. ویژگی شکست ترد، ایجاد وجود مسطح است. عموماً این وجود مسطح (شکل 15-ب) در نتیجه حرکت ترک در امتداد تعدادی صفحه‌ی موازی ایجاد می‌شوند. اغلب شکست‌های ترد دارای فرورفتگی‌ها و برآمدگی‌های ناشی از گسیختگی در اطراف وجوده شکست است [30].

تحلیل نقطه‌ای (جدول 2) مشخص کرد که این وجوده مسطح همان رسوبات  $\text{Al}_3\text{Cu}$  هستند. طبق گزارش لاوسون و کر [31] طبیعت انتشار

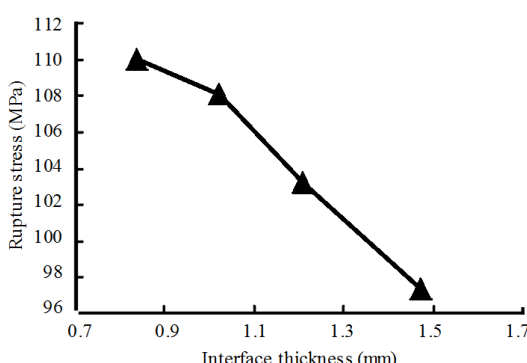


Fig. 14 Variation of the rupture stress versus increasing the interface thickness

شکل 14 تغییرات تنش گسیختگی به ازای افزایش ضخامت فصل مشترک

بنابراین افزایش مادون انجامد موجب کاهش شعاع بحرانی جوانه‌ی پایدار خواهد شد به گونه‌ای که جوانه‌های کوچک پایدار مانده و می‌توانند رشد کنند. افزون بر مادون انجامد حرارتی که بحث شد، مادون انجامد ساختاری نیز در بوجود آمدن چنین ریزساختاری مؤثر است. مطابق تحقیقات انجام گرفته، به هم خوردن مذاب موجب تسريع جایجایی حرارتی و نفوذ عنصر حل‌شونده شده و از این رو باعث افزایش گرادیان غلظتی و مادون انجامد ساختاری در جبهه‌ی فصل مشترک در حال انجامد می‌شود [25,24]. افزایش مادون انجامد غلظتی با افزایش شمار مکان‌های جوانه‌زنی منجر به تسريع واکنش‌های شیمیایی حین فرآیند انجامد شده [13] و بدینسان کسر حجمی یوتکنیک بیشتری در ریزساختار ظاهر می‌شود.

سرعت چرخش بالا، علاوه بر افزایش کسر یوتکنیکی ریزساختار فصل مشترک، به علت تلاطم زیاد شرایط را برای حضور فیلم‌های اکسیدی در ریزساختار مهیا می‌کند. در واقع، تلاطم سطحی موجب شکسته شدن فیلم‌های اکسیدی جبهه‌ی پیشروندنی آلومینیوم مایع شده و موجات تا خوردن و گیرافتادگی آن‌ها در توده‌ی مذاب (شکل 12) را فراهم می‌آورد [27,26]. بنابر گزارش چاو و کمبل [28] فیلم‌های اکسیدی تاخورده در فلز مایع دارای دو سطح هستند: سطوح خشک و بدون پیوند داخلی، و سطوح ترشده‌ی خارجی. تماس اتمی خوبی بین سطح ترشده‌ی فیلم و مایعی که ترکیب بین‌فلزی از آن رشد می‌کند برقرار شده و از این‌رو تماس اتمی خوبی نیز با ترکیب بین‌فلزی برقرار می‌شود. شکاف بین سطوح خشک فیلم‌های اکسیدی دولایه به علت فقدان پیوند کامل، موجب تشکیل ترک‌هایی در ترکیب بین‌فلزی و زمینه می‌شود (شکل 13). بنابراین می‌توان گفت، حضور ترک درون و اطراف ترکیبات بین‌فلزی ناشی از رسوب ترکیبات بین‌فلزی اولیه روی سطح خارجی ترشده‌ی فیلم‌های اکسیدی دولایه است.

#### 4- استحکام پیوند و شکست‌نگاری

نمونه‌های 4، 10، 16 و 22 با فصل مشترک‌هایی به ضخامت 1.48، 1.9، 2.21 و 3.11 میلی‌متر برای تست چالمرز انتخاب شد. نیروی منجر به گسیختگی پیوند در این نمونه‌ها به ترتیب معادل 11.7، 12.5، 12.3، 11.7، 11.2، 12.3، 12.5 و 11 کیلونیون ق بث شد. با استفاده از معادله‌ی (8)، تنش گسیختگی نمونه‌ها به ترتیب برابر 108، 110 و 103 مگاپاسکال محاسبه شد. شایان ذکر است سطح تحت

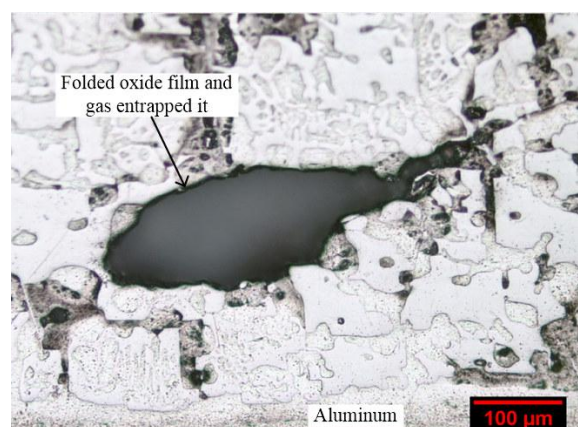


Fig. 12 Representative optical micrograph showing the oxide film was folded due to melt turbulence at the interface near the aluminum side (zone 3)

شکل 12 فصل مشترک مجاور آلومینیم (ناحیه 3) نمونه 21 ثبت شده با میکروسکوپ نوری نشان‌دهنده تا خوردن فیلم اکسیدی در اثر تلاطم بالای مذاب

جدول 2 نتایج آنالیز نقطه‌ای طیفسنجی پراش انرژی پرتو ایکس از محلهای مشخص شده در تصاویر 8-ب، 8-ج، 15-ب

Table 2 EDS results (Atomic %) of marked areas shown in Figures 8b, 8c and 15b

شده	درصد اتمی عناصر (at.%)			منطقه
	Zn	Cu	Al	
Al <sub>3</sub> Cu <sub>5</sub> Zn <sub>4</sub>	36.94	45.08	17.99	A
Al <sub>3</sub> Cu <sub>5</sub> Zn	14.23	41.80	43.98	B
Al <sub>3</sub> Cu	1.47	25.35	73.18	C
Al <sub>11</sub> Zn	8.07	2.39	89.54	D
Al <sub>3</sub> Cu	0.99	23.36	75.65	E

صفحه‌ای شکست ترد نشان‌دهنده شکست یکنواخت ترکیبات بین‌فلزی و پیوند فصل مشترکی خوب بین آن‌ها است. گسیختگی گودشده به همراه فروفتگی‌های فنجانی شکل (شکل 15-ج) معروفه‌ی شکست نرم است. در حقیقت، ریزحرفات در محل ذرات فاز ثانوی شروع شده و رشد می‌کنند تا هنگامی که دیواره‌ی بین حفره‌ها بشکند [32]. به گونه‌ای که پیش از این بیان شد، ساختار یوتکنیک غیرعادی در نتیجه‌ی جوانه‌زنی و رشد مستقل دو فاز ساختار یوتکنیک تشكیل می‌شود، بنابراین می‌توان رفتار شکست نرم را به این ساختار نسبت داد.

## 5- نتیجه‌گیری

براساس تحقیق صورت گرفته نتایج زیر قابل حصول است:

\* نمونه‌های تولید شده در دماهای پیش‌گرم پایین و نیز سرعت‌های چرخش بالا دارای فصل مشترک نازکتری نسبت به دیگر نمونه‌ها است. محدوده‌ی فصل مشترک در دماهای پیش‌گرم 100، 200، 300 و 400 درجه‌ی سانتی‌گراد به ترتیب معادل 0.489-0.487-0.486-0.485-0.484-0.483-0.482-0.481-0.480-0.479-0.478-0.477-0.476-0.475-0.474-0.473-0.472-0.471-0.470-0.469-0.468-0.467-0.466-0.465-0.464-0.463-0.462-0.461-0.460-0.459-0.458-0.457-0.456-0.455-0.454-0.453-0.452-0.451-0.450-0.449-0.448-0.447-0.446-0.445-0.444-0.443-0.442-0.441-0.440-0.439-0.438-0.437-0.436-0.435-0.434-0.433-0.432-0.431-0.430-0.429-0.428-0.427-0.426-0.425-0.424-0.423-0.422-0.421-0.420-0.419-0.418-0.417-0.416-0.415-0.414-0.413-0.412-0.411-0.410-0.409-0.408-0.407-0.406-0.405-0.404-0.403-0.402-0.401-0.400-0.399-0.398-0.397-0.396-0.395-0.394-0.393-0.392-0.391-0.390-0.389-0.388-0.387-0.386-0.385-0.384-0.383-0.382-0.381-0.380-0.379-0.378-0.377-0.376-0.375-0.374-0.373-0.372-0.371-0.370-0.369-0.368-0.367-0.366-0.365-0.364-0.363-0.362-0.361-0.360-0.359-0.358-0.357-0.356-0.355-0.354-0.353-0.352-0.351-0.350-0.349-0.348-0.347-0.346-0.345-0.344-0.343-0.342-0.341-0.340-0.339-0.338-0.337-0.336-0.335-0.334-0.333-0.332-0.331-0.330-0.329-0.328-0.327-0.326-0.325-0.324-0.323-0.322-0.321-0.320-0.319-0.318-0.317-0.316-0.315-0.314-0.313-0.312-0.311-0.310-0.309-0.308-0.307-0.306-0.305-0.304-0.303-0.302-0.301-0.300-0.299-0.298-0.297-0.296-0.295-0.294-0.293-0.292-0.291-0.290-0.289-0.288-0.287-0.286-0.285-0.284-0.283-0.282-0.281-0.280-0.279-0.278-0.277-0.276-0.275-0.274-0.273-0.272-0.271-0.270-0.269-0.268-0.267-0.266-0.265-0.264-0.263-0.262-0.261-0.260-0.259-0.258-0.257-0.256-0.255-0.254-0.253-0.252-0.251-0.250-0.249-0.248-0.247-0.246-0.245-0.244-0.243-0.242-0.241-0.240-0.239-0.238-0.237-0.236-0.235-0.234-0.233-0.232-0.231-0.230-0.229-0.228-0.227-0.226-0.225-0.224-0.223-0.222-0.221-0.220-0.219-0.218-0.217-0.216-0.215-0.214-0.213-0.212-0.211-0.210-0.209-0.208-0.207-0.206-0.205-0.204-0.203-0.202-0.201-0.200-0.199-0.198-0.197-0.196-0.195-0.194-0.193-0.192-0.191-0.190-0.189-0.188-0.187-0.186-0.185-0.184-0.183-0.182-0.181-0.180-0.179-0.178-0.177-0.176-0.175-0.174-0.173-0.172-0.171-0.170-0.169-0.168-0.167-0.166-0.165-0.164-0.163-0.162-0.161-0.160-0.159-0.158-0.157-0.156-0.155-0.154-0.153-0.152-0.151-0.150-0.149-0.148-0.147-0.146-0.145-0.144-0.143-0.142-0.141-0.140-0.139-0.138-0.137-0.136-0.135-0.134-0.133-0.132-0.131-0.130-0.129-0.128-0.127-0.126-0.125-0.124-0.123-0.122-0.121-0.120-0.119-0.118-0.117-0.116-0.115-0.114-0.113-0.112-0.111-0.110-0.109-0.108-0.107-0.106-0.105-0.104-0.103-0.102-0.101-0.100-0.099-0.098-0.097-0.096-0.095-0.094-0.093-0.092-0.091-0.090-0.089-0.088-0.087-0.086-0.085-0.084-0.083-0.082-0.081-0.080-0.079-0.078-0.077-0.076-0.075-0.074-0.073-0.072-0.071-0.070-0.069-0.068-0.067-0.066-0.065-0.064-0.063-0.062-0.061-0.060-0.059-0.058-0.057-0.056-0.055-0.054-0.053-0.052-0.051-0.050-0.049-0.048-0.047-0.046-0.045-0.044-0.043-0.042-0.041-0.040-0.039-0.038-0.037-0.036-0.035-0.034-0.033-0.032-0.031-0.030-0.029-0.028-0.027-0.026-0.025-0.024-0.023-0.022-0.021-0.020-0.019-0.018-0.017-0.016-0.015-0.014-0.013-0.012-0.011-0.010-0.009-0.008-0.007-0.006-0.005-0.004-0.003-0.002-0.001-0.000

\* فصل مشترک شامل سه لایه‌ی مجزا است. منطقه‌ی 1 لایه‌ی نفوذی (Al<sub>3</sub>Cu<sub>5</sub>Zn-Al<sub>3</sub>Cu<sub>5</sub>Zn<sub>4</sub>)، منطقه‌ی 2 رسوبات Al<sub>3</sub>Cu توزع شده در زمینه‌ی Al<sub>11</sub>Zn، و در نهایت منطقه‌ی 3 یا ساختار یوتکنیک غیرعادی (α-Al/Al<sub>3</sub>Cu) است.

\* ارتعاش مکانیکی قالب حین انجماد، موجب افزایش میزان ترکیب یوتکنیکی می‌شود. در واقع، مادون انجماد حرارتی (اثر سردکنندگی) و نیز مادون انجماد غلطی (تولید هسته‌های انجمادی بیشتر) در اثر افزایش سرعت چرخش تشدید شده و شرایط را برای تشكیل ساختار یوتکنیک تسهیل می‌کنند.

\* با افزایش ضخامت فصل مشترک، شکنندگی آن افزایش یافته و تنش کمتری را تا گسیختگی تحمل کند. هر دو نوع شکست ترد و نرم در فصل مشترک اتفاق افتاده است. شکست ترد متعلق به رسوبات Al<sub>3</sub>Cu است و ساختار یوتکنیک غیرعادی α-Al/Al<sub>3</sub>Cu مسئول شکست نرم است.

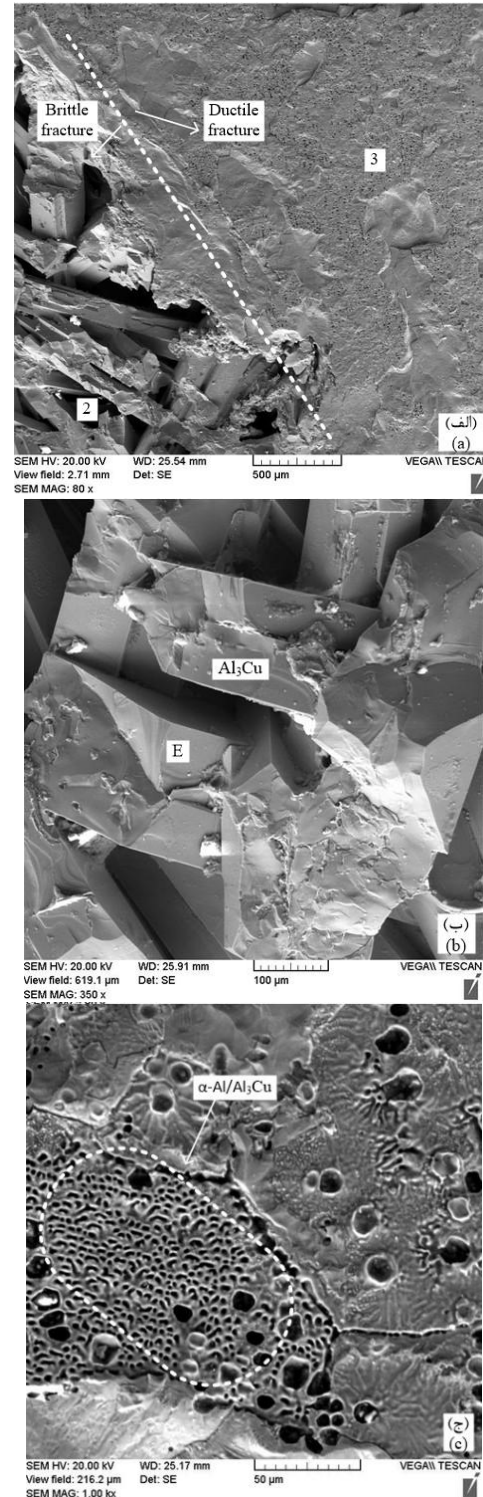


Fig. 15 (الف) رفتار دوگانه‌ی سطح شکست، (ب)-(ج) بزرگنمایی بالاتر شکست ترد (رسوبات Al<sub>3</sub>Cu) و نرم (ساختار یوتکنیک غیرعادی α-Al/Al<sub>3</sub>Cu) اتفاق افتاده ثبت شده با میکروسکوپ الکترونی روشنی

شکل 15 (الف) رفتار دوگانه‌ی سطح شکست، (ب)-(ج) بزرگنمایی بالاتر شکست ترد (رسوبات Al<sub>3</sub>Cu) و نرم (ساختار یوتکنیک غیرعادی α-Al/Al<sub>3</sub>Cu) اتفاق افتاده ثبت شده با میکروسکوپ الکترونی روشنی

- Diffusion in Materials*, Vol. 95-98, pp. 611-616, 1993.
- [18] B. A. Shoilock, C. R. M. Grovenor, K. M. Knowles, Compositional Studies of  $\Omega$  and  $\Theta'$  Precipitates in an Al-Cu-Mg-Ag Alloy, *Scripta Metallurgica*, Vol. 24, No. 7, pp. 1239-1244, 1990.
- [19] A. Biswas, D. J. Siegel, C. Wolverton, D. N. Seidman, Precipitates in Al-Cu alloys revisited: Atom-probe tomographic experiments and first-principles calculations of compositional evolution and interfacial segregation, *Acta Materialia*, Vol. 59, No. 15, pp. 6187-6204, 2011.
- [20] X. R. Liu, C. D. Cao, B. Weisheng, Microstructure evolution and solidification kinetics of undercooled Co-Ge eutectic alloys, *Scripta Materialia*, Vol. 46, No. 1, pp. 13-18, 2002.
- [21] B. Wei, D. M. Herlach, Rapid solidification of undercooled eutectic and monotectic alloys, *Materials Science and Engineering A*, Vol. 173, No. 1-2, pp. 357-361, 1993.
- [22] G. Chirita, I. Stefanescu, J. Barbosa, H. Puga, D. Soares, F. S. Silva, On assessment of processing variables in vertical centrifugal casting technique, *International Journal of Cast Metals Research*, Vol. 22, No. 5, pp. 382-389, 2009.
- [23] M. C. Flemings, *Solidification Processing*, pp. 290-301, Massachusetts Institute of Technology, 1974.
- [24] B. Xiong, C. Cai, H. Wan, B. Lu, Fabrication of high chromium cast iron and medium carbon steel bimetal by liquid-solid casting in electromagnetic induction field, *Materials and Design*, Vol. 32, No. 5, pp. 2978-2982, 2011.
- [25] E. Ahmadi, M. R. Forouzan, M. Aghaei, M. Shirani, Numerical simulation of thermal history in mold and casting during horizontal centrifugal casting of ductile iron pipes, *Modares Mechanical Engineering*, Vol. 14, No. 6, pp. 185-193, 2014 (in Persian).
- [26] X. Dai, M. R. Jolly, X. Yang, J. Campbell, Modelling of liquid metal flow and oxide film defects in filling of aluminium alloy castings, *IOP Conference: Materials Science and Engineering*, Vol. 33, 2012.
- [27] M. Sarvari, M. Divandari, Melt behavior and shrinkage force effect of Al melt in Al/Mg bimetal cast via centrifugal casting, *Modares Mechanical Engineering* Vol. 15, No. 7, pp. 131-138, 2015 (in Persian).
- [28] X. Cao, J. Campbell, Precipitation of primary intermetallic compounds in liquid Al 11.5Si 0.4Mg alloy, *International Journal of Cast Metals Reserch*, Vol. 13, No. 3, pp. 175-184, 2000.
- [29] M. Abbasi, A. Karimi Taheri, M. T. Salehi, Growth rate of intermetallic compounds in Al/Cu bimetal produced by cold roll welding process, *Journal of Alloys and Compounds*, Vol. 319, No. 1, pp. 233-241, 2001.
- [30] G. E. Dieter, D. Bacon, *Mechanical Metallurgy*, pp. 254-256, New York: McGraw-Hill, 1986.
- [31] W. H. S. Lawson, H. W. Kerr, Mechanical behavior of rapidly solidified Al-Al<sub>2</sub>Cu and Al-Al<sub>3</sub>Ni composites, *Metallurgical Transactions*, Vol. 2, No.10, pp. 2853-2859, 1971.
- [32] C. D. Beachem, The effects of crack tip plastic flow directions upon microscopic dimple shapes, *Metallurgical Transactions A*, Vol. 6, No. 2, pp. 377-383, 1975.

**6- مراجع**

- [1] K. J. M. Papis, B. Hallstedt, J. F. Loöffler, P. J. Uggowitzer, Interface formation in aluminium-aluminium compound casting, *Acta Materialia*, Vol. 56, No. 13, pp. 3036-3043, 2008.
- [2] A. R. Patel, *Mechanical Property and Microstructural Investigation of Aluminium Bronze by Centrifugal Casting Process*, pp. 23-25, Ganpat University, 2015.
- [3] J. Campbell, *Complete Casting Handbook*, pp. 979-985, University of Birmingham, UK, 2011.
- [4] R. I. El'baeva, K. G. Tkhangapsoev, Structure of the transition layer in steel-babbitt bimetals, *Metal Science and Heat Treatment*, Vol. 20, No. 8, pp. 661-663, 1978.
- [5] Y. Watanabe, S. Watanabe, K. Matsuura, Nickel-Aluminides/Steel clad pipe fabricated by reactive centrifugal casting method from liquid aluminum and solid nickel, *Metallurgical and Materials Transactions A*, Vol. 35, No. 5, pp. 1517-1524, 2003.
- [6] P. Diouf, A. Jones, Investigation of bond strength in centrifugal lining of babbitt on cast iron, *Metallurgical and Materials Transactions A*, Vol. 41, No. 3, pp. 603-609, 2010.
- [7] L. L. Regel, W. R. Wilcox, *Centrifugal Materials Processing*, pp. 3-7, International center for gravity materials science and applications, Clarkson University, Potsdam, 1997.
- [8] W. Shi-ping, L. Chang-Yun, G. U. Jing-Jie, S. Yan-qing, L. Xiu-qiao, U. Heng-zhi, Numerical simulation and experimental investigation of two filling methods in vertical centrifugal casting, *Transactions of Nonferrous Metals Society of China*, Vol. 16, No. 5, pp. 1035-1040, 2006.
- [9] ISO 4386-2:2012, Plain bearings -- metallic multilayer plain bearings, destructive testing of bond for bearing metal layer thicknesses greater than or equal to 2 mm, 1982.
- [10] *ImageJ software*, Accessed on 4 February 2015; www.ImageJ.net.
- [11] J. Pan, M. Yoshida, G. Sasaki, H. Fukunaga, Metal pipe joining with aluminum alloy by ultrasonic insert casting, *Materials and Manufacturing Processes*, Vol. 15, No. 6, pp. 867-881, 2000.
- [12] B. Xiong, C. Cai, B. Lu, Effect of volume ratio of liquid to solid on the interfacial microstructure and mechanical properties of high chromium cast iron and medium carbon steel bimetal, *Journal of Alloys and Compounds*, Vol. 509, No. 23, pp. 6700-6704, 2011.
- [13] M. H. Ghoncheh, S. G. Shabestari, Effect of cooling rate on the dendrite coherency point during solidification of Al2024 alloy, *Metallurgical and Materials Transactions A*, Vol. 46, No. 3, pp. 1287-1299, 2014.
- [14] B. Legendre, Y. Feutelais, J. M. San Juan, I. Hurtado, Enthalpy of formation of the ternary  $T$  phase in the Al-Cu-Zn system, *Journal of Alloys and Compounds*, Vol. 308, No. 1-2, pp. 216-220, 2000.
- [15] R. S. Timsit, Intermetallics growth at Al/ $\alpha$ -brass interfaces, *Acta Metallurgica*, Vol. 33, No. 1, pp. 97-104, 1985.
- [16] R. S. Timsit, Interdiffusion at bimetallic electrical interfaces, *IEEE Transactions (Components, Hybrids, and Manufacturing Technology)*, Vol. 9, No. 1, pp. 106-116, 1986.
- [17] S. I. Fujikawa, Interdiffusion between Aluminium and  $\alpha$ -Brass,